

بررسی تاثیر افزودنی آهن بر سنتز Si_3N_4 به روش کربوترمال و نیتریداسیون از پیش سازه MCM-48 و ساکاروز

علی قلمزن^{۱*}، امیر عباس نوربخش^۲، مجتبی نصر اصفهانی^۳، روزبه جواد کلباسی^۴

۱- کارشناس ارشد، دانشکده مهندسی مواد، واحد نجف آباد، دانشگاه آزاد اسلامی، نجف آباد، ایران

۲- دانشیار، دانشکده فنی و مهندسی، واحد شهرضا، دانشگاه آزاد اسلامی، شهرضا، اصفهان، ایران

۳- استادیار، دانشکده مهندسی مواد، واحد نجف آباد، دانشگاه آزاد اسلامی، نجف آباد، ایران

۴- استادیار، دانشکده شیمی، واحد شهرضا، دانشگاه آزاد اسلامی، شهرضا، اصفهان، ایران

*Ali.ghalamzan@yahoo.com

(تاریخ دریافت: ۹۲/۰۸/۱۵، تاریخ پذیرش: ۹۲/۱۰/۲۴)

چکیده

در تحقیق حاضر نقش افزودنی آهن بر سنتز نیترید سیلیسیوم به روش کربوترمال و نیتریداسیون از پیش سازه سیلیکاتی MCM-48 و عامل کربنی ساکاروز بررسی شد. ابتدا مزوحفه سیلیکاتی سنتز گردید. سپس با استفاده از انحلال MCM-48 و ساکاروز در آب دو بار تقطیر و خشک نمودن رسوب حاصله، مخلوط های دو تایی آماده شد. جهت بررسی نقش آهن، با افزودن آهن در محدوده یک، دو و سه درصد وزنی به مخلوط فوق، سیستم های سه تایی نیز آماده گردید. سپس عملیات نیتریداسیون در دمای ۱۴۰۰ درجه سانتی گراد و تحت اتمسفر نیتروژن انجام شد. خواص فیزیکی و میکروساختاری پیش سازه سیلیکاتی و نمونه های تولید شده به کمک تکییک های گوناگون مانند الگوی پراش اشعه ایکس، میکروسکوپ الکترونی رویشی، آزمون ایزو ترم جذب-واجدب نیتروژن و میکروسکوپ الکترونی عبوری مشخصه یابی شد. نتایج نشان می دهد با افزایش درصد وزنی آهن، میزان نیترید سیلیسیوم حاصله افزایش می یابد که بیانگر نقش کاتالیستی این افزودنی می باشد. در واقع افزودنی آهن با تشکیل سیلیساید های آهن، مکان های مناسبی را جهت جوانه زنی نیترید سیلیسیوم فرآهم می آورد که سبب بهبود سیستیک واکنش نیتریداسیون می گردد. تصاویر میکروسکوپ الکترونی رویشی نیز مورفولوژی متخلخل را برای نیترید سیلیسیوم نشان می دهد. مطالعات آزمون ایزو ترم جذب-واجدب نیتروژن نیز نشان می دهد، نمونه های نهایی دارای قطری کوچکتر نسبت به پیش سازه سیلیکاتی است و خصوصیات یک ماده میکرو حفره را دارا می باشد.

واژه های کلیدی:

نیترید سیلیسیوم، کربوترمال و نیتریداسیون، مزوپور.

۱- مقدمه

مناسبی های بر پایه نیترید سیلیسیوم (Si_3N_4) کاندیدای مناسب در درجه حرارت بالا، مقاومت در برابر خوردگی و پایداری در

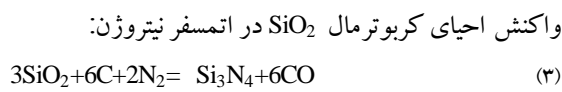
سرامیک های بر پایه نیترید سیلیسیوم (Si_3N_4) کاندیدای مناسبی جهت کاربردهای مهندسی بوده و به دلیل خواص

سیلیکا (SiO_2) تا مواد درشت حفره (مزوپور) را به عنوان عوامل سیلیکاتی معرفی می‌نماید [۷-۲]. اخیراً استفاده از مواد مزوپور جهت ستر نانو ساختارهای غیر اکسیدی، توجه محققین را به خود جلب نموده است. مواد مزوپور دسته‌ای از مواد نانو حفره با قطر (۵۰-۲) نانومتر می‌باشند که بر اساس مواد تشکیل دهنده حفرات به دو دسته سیلیکاتی و غیر سیلیکاتی تقسیم می‌شوند. از ترکیبات سیلیکاتی می-
توان به خانواده‌های S , MSU-n , SBA-n , M41S و M41S-n اشاره نمود. در این میان بیشترین مطالعه روی خانواده M41S صورت گرفته است. این گروه دارای اعضای MCM-41 , MCM-48 و MCM-50 می‌باشد که MCM-48 دیگر اعضاء دارای خصوصیات برجسته‌ای مانند سطح ویژه بالا و قطر حفرات بزرگ تراست [۸-۹]. در جدول ۱ به مشخصات فیزیکی و شیمیایی مواد مزوپور اشاره شده است.

برابر شوک حرارتی در سال‌های گذشته مورد توجه محققین قرار گرفته است [۱]. در زمینه ستر Si_3N_4 روش‌های متفاوتی توسط محققین مورد بررسی قرار گرفته که به طور خلاصه می‌توان به روش‌های زیر اشاره نمود.
نیتریده کردن پودر سیلیکون فلزی:



رسوب فاز گازی:



در این میان روش احیای کربوترمال و نیتریداسیون بیشتر مورد توجه بوده است. نگاهی گذرا در مواد اولیه مورد مصرف توسط پژوهشگران، تنوع بسیار زیاد سیلیسیوم(Si)،

جدول (۱): مشخصات فیزیکی و شیمیایی مواد مزوپور

نام ماده	قطر حفرات nm	حجم حفرات Cm^3/gr	سطح ویژه m^2/gr	ساختار شبکه
MCM-41	۲-۱۰	۱	۱۰۰۰ - ۱۳۰۰	هگزاگونال لانه زنبوری
MCM-48	۲-۵۰	۰/۹ - ۱/۳	۹۰۰ - ۱۳۰۰	مکعبی
MCM-50	۲-۵۰	—	—	ورقه ورقه

و تغییرات ساختاری محصول به دست آمده و تأثیر آن بر خواص مکانیکی بوده است [۱۰]. اما نقش آهن در نیتریداسیون سیلیکون نیز توسط محققین زیادی مورد مطالعه قرار گرفته است که هر کدام به نتایج گوناگونی دست یافته اند. در حالی که توافق کلی اکثر مطالعات بر این است که آهن نقش مثبتی در فرآیند نیتریداسیون ایفا می‌نماید.

بررسی مطالعات کتابخانه‌ای نشان می‌دهد تحقیقات زیادی برای بررسی نقش افزودنی‌ها با استفاده از پیش‌سازه‌های سیلیکاتی مزوپور صورت نپذیرفته است. در تحقیق حاضر

روش ستر Si_3N_4 هر چه باشد و مواد اولیه به هر صورت انتخاب شوند، تشکیل، مورفو لوژی و خواص محصول حاصله شدیداً تحت تأثیر نوع افزودنی و دمای عملیات می‌باشد. محققین چندی در زمینه نقش افزودنی‌ها بر فرآیند ستر Si_3N_4 کار تحقیقاتی انجام داده و به نتایج گوناگونی دست یافته اند. در این میان به نظر می‌رسد نقش کاتالیستی افزودنی‌ها بسیار برجسته است.

باید گفت عدمه فعالیت‌های تحقیقاتی در ارتباط با بررسی نقش افزودنی‌های اکسیدی و تمایل به تشکیل فاز مایع

۲- مواد و روش ها

مشخصات مواد اولیه مورد مصرف در پروژه تحقیقاتی حاضر در جدول ۲ آمده است.

نقش افزودنی آهن بر ستر نیترید سیلیسیوم به روش احیای کربوترمال و نیتریداسیون و با استفاده از پیش سازه سیلیکاتی مزوبور MCM-48 و عامل کربنی ساکاروز مورد بررسی قرار گرفت.

جدول (۲): مشخصات مواد اولیه مورد مصرف در تحقیق حاضر

نام ترکیب	شرکت سازنده	کد خلوص	فرمول ملکولی
ستیل تری متیل آمونیوم بروماید	MERCK	۱۰۲۳۴۲	C ₁₉ H ₄₂ BrN
تراتیل اورتو سیلیکات	MERCK	۸۰۰۶۵۸	C ₈ H ₂₀ O ₄ Si
اتانول	MERCK	۱۰۰۹۸۳	C ₂ H ₆ O
آمونیاک	MERCK	۱۰۵۴۲۲	NH ₃
ساکاروز	MERCK	۱۰۷۶۵۱	C ₁₂ H ₂₂ O ₁₁
نیترات آهن	MERCK		Fe(NO ₃) ₃ .9H ₂ O
نیترات سدیم	MERCK		NaNO ₃ .6H ₂ O

این مخلوط ها تعیین گردید که برای تهیه هر کدام، ۰/۳۶ گرم از MCM-48 و ۰/۳۳ گرم از ساکاروز به همراه درصد وزنی مشخص در محدوده یک، دو و سه درصد وزنی از آهن یا سدیم در ۵۰ میلی لیتر آب دوبار تقطیر حل گردید. آهن یا سدیم رسوب به دست آمده در خشک کن (دماه ۶۰ درجه سپس رسوب به دست آمده در سانتی گراد و سانتی گراد و به مدت ۳ ساعت در اتمسفر گاز نیتروژن با نرخ ۱۰ میلی لیتر بر دقیقه پیشگرم گردید. سپس با ثابت ماندن فشار گاز نیتروژن، درجه حرارت کوره به ۱۴۰۰ درجه سانتی گراد رسیده و عملیات نیتریداسیون به مدت سه ساعت در درجه حرارت ماکریم (۱۴۰۰ °C) انجام شد. در جدول ۳ مقادیر مواد اولیه در ترکیب مخلوط های دو و سه تایی آمده است. در این جدول تمامی مقادیر بر حسب گرم می باشد.

به منظور تهیه مزوحفره سیلیکاتی MCM-48 ابتدا ۲/۴ گرم (۶/۶ میلی مول) ستیل تری متیل آمونیوم بروماید (CTAB) در ۵۰ میلی لیتر آب دو بار تقطیر حل شد و سپس ۵۰ میلی لیتر (۰/۸۷ مول) اتانول به این محلول اضافه شد. به منظور تنظیم pH و ایجاد محیط بازی از ۱۲ میلی لیتر (۰/۲۰ میلی مول) آمونیاک ۳۲ درصد وزنی، استفاده شد. محلول به دست آمده به مدت ۳۰ دقیقه بر روی همزن مغناطیسی به هم زده شد. سپس ۳/۴ گرم (۱۶ میلی مول) ترا اتیل اورتو سیلیکات (TEOS) به آن اضافه شد و محلول به مدت ۲ ساعت در دماه محیط به هم زده شد. بعد از صاف کردن و شستن محلول با آب دو بار تقطیر، رسوب به دست آمده در دماه محیط خشک شد. به منظور جدایش ملکولهای آلی قابل دهنه (CTAB) عمل کلسینه شدن در دماه ۵۵۰ °C و به مدت ۵ ساعت انجام گرفت. در گام بعدی جهت تهیه مخلوط های دو و سه تایی، ابتدا با استفاده از واکنش کربوترمال و نیتریداسیون که جهت ستر Si₃N₄ مورد استفاده قرار خواهد گرفت و با توجه به نسبت های استوکیومتری آن، مقادیر مورد نیاز از مواد اولیه برای تولید

استفاده شد. سطح ویژه و حجم حفرات نیز توسط دستگاه BET مدل Kelvin 1042 Sorptometer اندازه گیری شد.

۳- نتایج و بحث

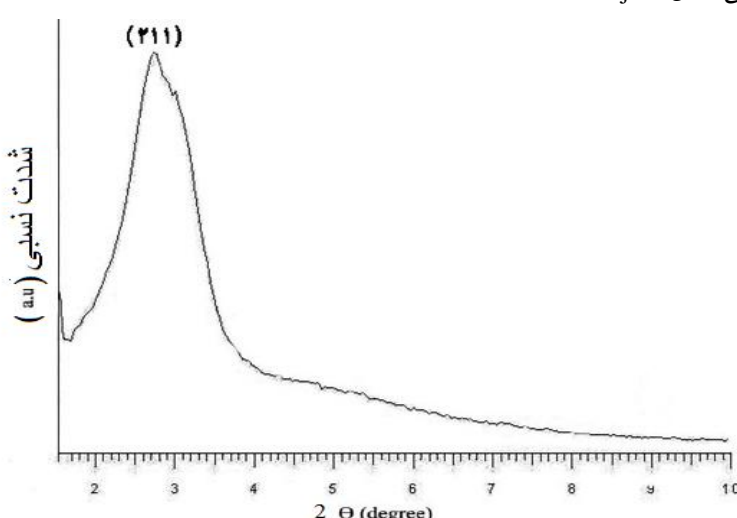
۱- آزمون های مشخصه یابی پیش سازه سیلیکاتی (MCM-48) الف: آزمون پراش اشعه ایکس

ساختار فازی پودر سنتز شده پس از عملیات حرارتی در دمای ۵۵۰ درجه سانتی گراد به کمک تکنیک پراش پرتو ایکس (XRD) بررسی شد. شکل ۱ الگوی پراش اشعه ایکس برای نمونه سیلیکاتی MCM-48 در زاویه پایین می باشد که بیان کننده ساختار منظم مربوط به گروه فضایی کریستالوگرافی مکعبی Ia3d برای (MCM-48) می باشد. این الگو شامل یک پیک قوی مربوط به صفحه (۲۱۱) در $2\theta = 20^\circ$ می باشد. الگوی تفرق اشعه ایکس حاصل بر روی نمونه MCM-48 نشان دهنده شکل گیری ساختار مزو-حفره مکعبی می باشد که موافق با نتایج گزارش شده از تحقیقات انجام شده می باشد [۱۱].

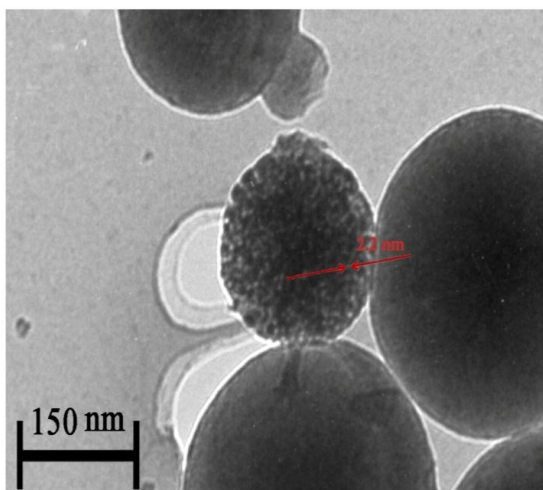
جدول (۳): مقادیر مواد اولیه در ترکیب مخلوط های دو و سه تایی

Sample	MCM-48	Saccharose	Fe(NO ₃) ₃ .9H ₂ O
۱	۰/۳۶	۰/۳۳	-
۲	۰/۳۶	۰/۳۳	۰/۰۳
۳	۰/۳۶	۰/۳۳	۰/۰۶
۴	۰/۳۶	۰/۳۳	۰/۱۰

محصول تولید شده برای فازیابی و همچنین تعیین مورفولوژی تحت آزمون های الگوی پراش اشعه ایکس (XRD)، میکروسکوپ الکترونی روبیشی (SEM)، میکروسکوپ الکترونی عبوری (TEM) و آزمون ایزوترم جذب-واجدب نیتروژن (BET) قرار گرفت. اکنون به بیان مشخصات تجهیزات مورد استفاده پرداخته خواهد شد. در تحقیق حاضر به منظور بررسی ساختار کریستالی پیش سازه از پراش اشعه ایکس در زوایای کم (Low angle XRD) و ۲۰ از ۰/۵ تا 5° مدل BRUKER D8 ADVANCE، Philips-PW 3040، ۲۰ از ۱۰ تا 90° استفاده شده است. به منظور بررسی ریزساختاری محصولات نیز از میکروسکوپ الکترونی روبیشی مدل LEO Jeol model jem



شکل (۱): الگوی پراش اشعه ایکس در زوایای پایین برای MCM-48

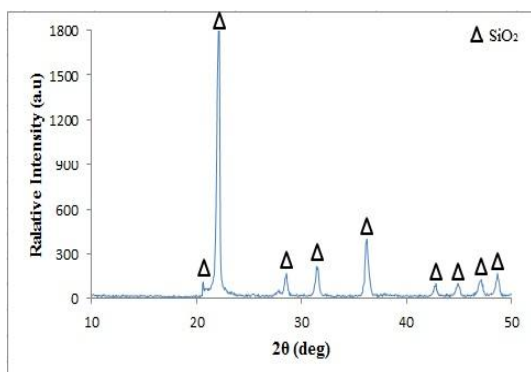


شکل (۳): تصویر میکروسکوپ الکترونی عبوری برای نمونه MCM-48

۲-۳- آزمون های مشخصه یابی برای نمونه های سنتر Si₃N₄ شده

الف: آزمون الگوی پراش اشعه ایکس

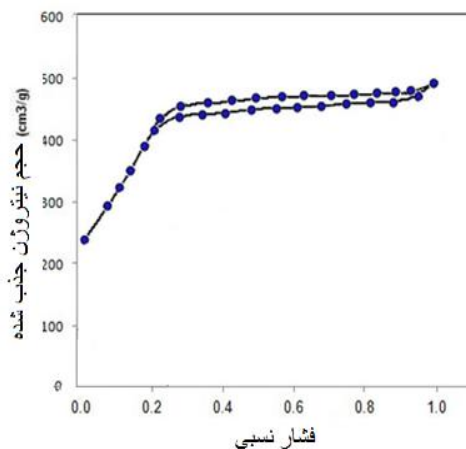
ابتدا نمونه فاقد افزودنی آهن تحت آزمون پراش اشعه ایکس قرار گرفت. الگوی پراش برای این نمونه در شکل ۴ آمده است. این نمونه به مدت چهار ساعت در دمای ۱۴۰۰ درجه سانتی گراد تحت عملیات نیتریداسیون قرار گرفت. در این الگو، پیک های آشکار کننده نیترید سیلیسیوم (Si₃N₄) مشاهده نمی گردد و ترکیب فازی نهایی به طور عمده شامل سیلیکا (SiO₂) می باشد. این مهم نشان می دهد زمان به کار رفته برای انجام عملیات نیتریداسیون کافی نبوده و منع از تشکیل نیترید سیلیسیوم گردیده است.



شکل (۴): الگوی پراش اشعه X برای نمونه فاقد افزودنی

ب: آزمون ایزوترم جذب - واجذب نیتروژن

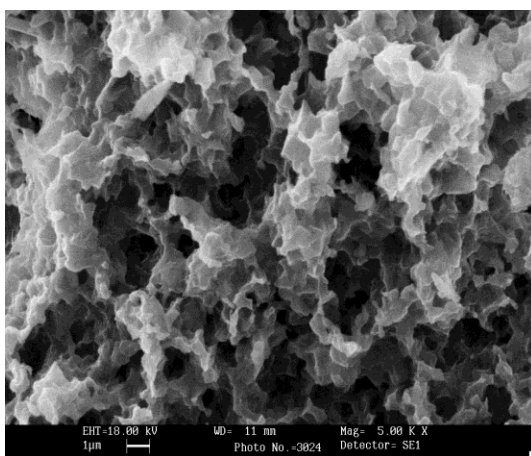
نمودار آزمون ایزوترم جذب - واجذب نیتروژن (BET) برای نمونه MCM-48 در شکل ۲ آمده است. وجود هیسترزیس در این منحنی بیانگر مزوحفره بودن ترکیب می باشد [۱۲-۱۳]. سطح ویژه حدود ۱۸۹۷ متر مربع بر گرم برای MCM-48 اندازه گیری شده است. قطر حفرات نیز برابر با ۲/۱ نانومتر گزارش شده است. همچنین حجم حفرات برای نمونه مزوحفره سیلیکاتی حدود ۰/۸۵ سانتی متر مکعب بر گرم معروفی شده است.



شکل (۲): نمودار آزمون ایزوترم جذب - واجذب نیتروژن برای نمونه MCM-48

ج: آزمون میکروسکوپ الکترونی عبوری

جهت بررسی دقیق تر اندازه ذرات و قطر حفرات پیش سازه سیلیکاتی (MCM-48) از میکروسکوپ الکترونی عبوری (TEM) استفاده شد. تصویر میکروسکوپ الکترونی در شکل ۳ آمده است. همان گونه که در تصویر مشخص شده است، قطر حفرات موجود برابر با ۲/۲ نانومتر است که در گستره قطر حفرات مواد مزپور می باشد. نکته قابل توجه و تطابق تقریبی قطر حفرات در اندازه گیری های BET و بررسی های مربوط به میکروسکوپ الکترونی عبوری (TEM) می باشد.



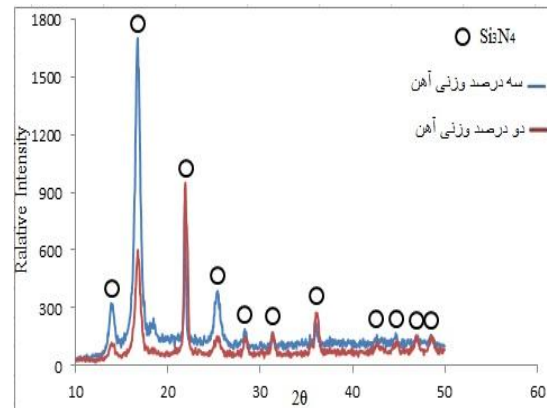
شکل (۶): تصویر SEM برای نمونه حاوی دو درصد وزنی افزودنی

تصویر فوق نشان می دهد نمونه ستر شده، متخلخل می باشد. با توجه به خط - اندازه موجود بر روی تصویر فوق، اندازه تخلخل های موجود بر روی سطح Si₃N₄ نسبت به قطر حفره های موجود در پیش سازه سیلیکاتی به کار رفته افزایش چشم گیری داشته است. به طور کلی وجود تخلخل ها در تصاویر SEM را می توان ناشی از عوامل زیر دانست.

- ۱- نوع پیش سازه سیلیکاتی مورد استفاده در این تحقیق (MCM-48) که یک پیش سازه مزوپور است.
- ۲- خروج گاز CO.
- ۳- تشکیل فاز مذاب و انقباض آن در حین فرآیند سرد شدن.

جهت بررسی تاثیر مقادیر بیشتری از آهن بر روی مورفولوژی، نمونه حاوی سه درصد وزنی آهن نیز تحت آزمون SEM قرار گرفت. در این تصویر نیز مشاهده می گردد بر روی سطح Si₃N₄ تخلخل هایی با قطر بزرگ تر نسبت به پیش سازه سیلیکاتی به وجود آمده است. همچنین الگوی پراکندگی انرژی اشعه ایکس نیز برای نمونه حاوی سه درصد وزنی آهن در شکل ۷ آمده است که بیان گر وجود عنصر سیلیسیم و نیتروژن در نمونه ستر شده می باشد که اثبات کننده وجود Si₃N₄ در این نمونه است.

به منظور بررسی نقش افزودنی آهن، نمونه های حاوی دو و سه درصد وزنی آهن تحت آزمون الگوی پراش اشعه ایکس قرار گرفت. الگوی پراش این نمونه ها در شکل ۵ آمده است.



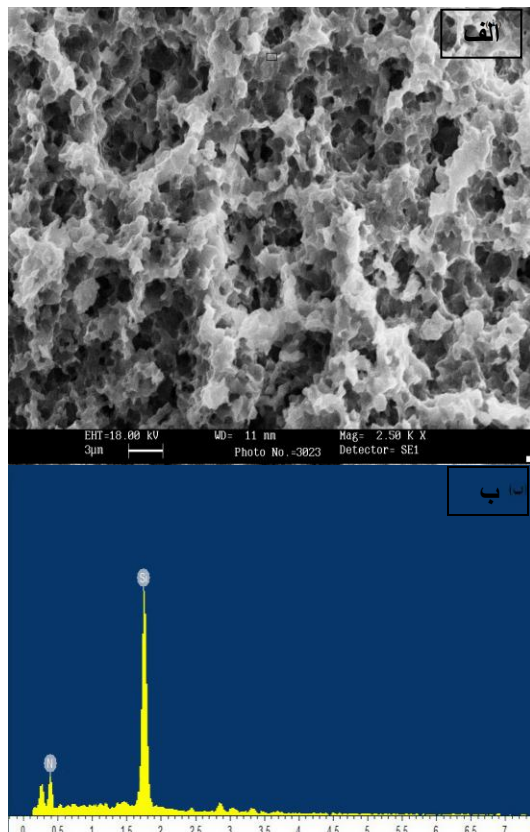
شکل (۵): الگوی پراش اشعه X برای نمونه های حاوی دو و سه درصد وزنی آهن

این الگو نشان می دهد افزودن آهن، تاثیر مثبتی بر فرآیند نیتریداسیون داشته و سبب گردیده تا در مدت زمان کم تر (سه ساعت) مقدار بیش تری از Si₃N₄ ستر گردد. زیرا این الگوها نشان می دهد افزایش درصد وزنی آهن از دو به سه درصد وزنی سبب افزایش شدت پیک های آشکار کننده Si₃N₄ در زوایای پایین شده است. افزایش شدت پیک دلیل بر افزایش میزان Si₃N₄ می باشد.

ب: آزمون میکروسکوپ الکترونی روبشی
جهت بررسی تاثیر آهن بر روی مورفولوژی محصول نهایی، نمونه ای که حاوی دو درصد وزنی آهن می باشد تحت آزمون میکروسکوپ الکترونی روبشی (SEM) قرار گرفت. در شکل ۶ تصویر SEM برای نمونه حاوی دو درصد وزنی آهن آمده است.

بهبود سیتیک واکنش احیا و نیتریداسیون می گردد. همچنین افزودنی آهن با تشکیل سیلیساید های آهن (Fe₂Si) که ناشی از واکنش میان عنصر آهن و سیلیکا می باشد، مکان های مناسبی را جهت جوانه زنی Si₃N₄ فراهم می نماید. این امر نیز سبب بهبود سیتیک فرآیند سنتر Si₃N₄ می گردد. بنابراین می توان ادعا نمود در کار تحقیقاتی حاضر، افزودنی آهن تاثیر مثبتی بر فرآیند سنتر Si₃N₄ داشته است. لازم به توضیح است که در کارهای تحقیقاتی دیگری نیز نقش افزودن مقادیر گوناگونی از آهن با استفاده از منابع مختلف مختلف حاوی آهن بررسی شده است. به عنوان مثال کای چن و همکاران تاثیر مقادیر مختلفی از Fe₂O₃ را بر سنتر Si₃N₄ با استفاده از پیش سازه سیلیکاتی کوارتز بررسی کرده و در تصاویر SEM مورفولوژی ذرات میله ای شکل را مشاهده نمودند که بیانگر وجود فاز بتا می باشد [۱۴]. در حالی که در تصاویر SEM در تحقیق حاضر، یک ساختار متخلخل رویت شده است. همچنین در کار تحقیقاتی کای چن معین گردید افزایش درصد وزنی آهن، سبب افزایش میزان فاز بتا خواهد شد که اثبات کننده نقش کاتالیستی این عنصر می باشد که با نتایج حاصل از تحقیق حاضر مبنی بر نقش کاتالیستی آهن کاملاً منطبق است.

چ: آزمون ایزوترم جذب - واجذب نیتروژن
در تحقیق حاضر نمونه حاوی سه درصد وزنی آهن جهت تعیین سطح ویژه، قطر حفرات و نوع تخلخل های موجود تحت آزمون BET قرار گرفت. به منظور مقایسه مقادیر پارامتر های فوق برای MCM-48 و Si₃N₄ نتایج به دست آمده برای این نمونه ها در جدول ۴ نشان داده شده است.



شکل(۷): (الف): تصویر SEM (ب): الگوی EDS برای نمونه حاوی سه درصد وزنی افزودنی آهن

به طور کلی در فرآیند احیای کربوترمال و نیتریداسیون، ابتدا عامل کربنی سبب احیای SiO₂ و تولید SiO گازی می گردد. سپس با نیتریده شدن این گاز در اتمسفر نیتروژن، SiO₂ سنتر خواهد شد. در این میان احتمال احیای Si نیز وجود دارد که نیتریده شدن Si نیز خود می تواند سبب تولید Si₃N₄ گردد. در این میان آهن نقش کاتالیستی ایفا می نماید. به طور کلی با توجه به مطالب ارایه شده می توان نقش آهن را به صورت زیر خلاصه نمود.

۱- نقش کاتالیستی در حذف لایه سطحی SiO₂ و تولید SiO گازی

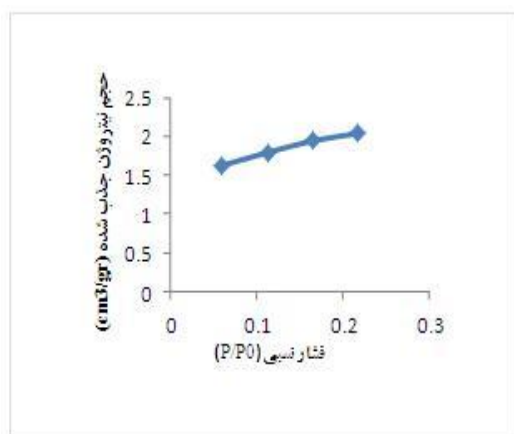
۲- افزایش تمایل به تشکیل Si₃N₄ در واقع همواره بر روی سطح Si₃N₄ یک لایه SiO₂ وجود دارد. این لایه فرآیند نیتریداسیون را به تعویق می اندازد. افزودن آهن با حذف اکسیژن و تولید SiO سبب

گردیده تا این محصول ویژگی های یک ماده میکرو حفره را دارا باشد. با توجه به مطالعه ارایه شده می توان ادعا نمود که در نمونه سنتر شده دو دسته حفره موجود می باشد. در بخش ۲-۳، ب اشاره شد که در تصاویر SEM بر روی سطح Si_3N_4 حفره های بزرگی دیده می شود. قطر این حفرات در محدوده مواد نانو متخلخل نیست. این حفره ها ناشی از خروج گاز مونوکسید کربن (CO) می باشد. بخش دیگری از حفره های موجود در این نمونه، حفره های میکروپور می باشد که در اثر پرشدن متخلخل ها با فاز مایع و کاهش قطر آن ها تا محدوده های میکروپور به وجود آمده است. لازم به توضیح است تشکیل فازهای مایع ناشی از واکنش میان افروزنی آهن و اکسیدهای سطحی موجود روی سطح Si_3N_4 در دمای بالا (۱۴۰۰) درجه سانتی گراد) می باشد.

جدول (۴): نتایج حاصل از آنالیز ایزوترم جذب-واجدب نیتروژن برای نمونه های Si_3N_4 MCM-48 و

نمونه ها	$S_{\text{BET}} (\text{m}^2/\text{g})$	$V_p (\text{cm}^3/\text{g})$
MCM-48	۱۸۹۷	۰/۸۵
Si_3N_4	۷/۱۳	۰/۶۳

این آزمون کاهش شدید سطح ویژه و قطر حفرات را نشان می دهد. به طوری که سطح ویژه از ۱۸۹۷ مترمربع بر گرم برای MCM-48 به مقدار ۷/۱۳ مترمربع بر گرم برای Si_3N_4 تولید شده کاهش یافته است. نمودار جذب-واجدب نیتروژن برای نمونه حاوی سه درصد وزنی آهن در شکل ۸ آمده است.



شکل (۸): نمودار آزمون ایزوترم جذب-واجدب نیتروژن برای نمونه حاوی سه درصد وزنی آهن

همان گونه که اشاره گردید پیش سازه سیلیکاتی مورد استفاده در این کار تحقیقاتی، یک پیش سازه مزوپور است. در حالی که نمونه Si_3N_4 سنتر شده خصوصیات یک ماده مزوپور را دارا نیست. نمودار ایزوترم جذب-واجدب رسم شده برای این محصول با نمودار مربوط به مواد میکرو حفره (در تعاریف آیوپاک) منطبق می باشد. می توان گفت کاهش سطح ویژه و قطر حفرات محصول نهایی سبب

۴- نتیجه گیری

۱- نقش بر جسته افروزنی آهن، تاثیر کاتالیستی آن می باشد. افروزن آهن به مخلوط واکنش، سبب بهبود سیستمک فرآیند نیتریداسیون و سنتر Si_3N_4 در یک مدت زمان کم تر می گردد که با نتایج به دست آمده از تحقیقات دیگران کاملاً منطبق است.

۲- تصاویر SEM برای نمونه های حاوی افروزنی آهن نشان می دهد، مورفولوژی به دست آمده برای Si_3N_4 متخلخل می باشد. متخلخل های موجود را می توان ناشی از نوع پیش سازه سیلیکاتی به کار رفته (MCM-48) که یک پیش سازه مزوپور است و خروج گاز CO دانست.

۳- مطالعات BET نشان می دهد با وجود استفاده از پیش سازه سیلیکاتی مزوپور (MCM-48) در تحقیق حاضر، محصول نهایی دارای خصوصیات مواد مزوپور (سطح ویژه و قطر حفرات بزرگ تر نسبت به دیگر منابع سیلیسی استفاده شده در تحقیقات دیگران) نمی باشد. در واقع فرآیند

- and Interface Science, Vol. 328, pp. 338-343, 2008.
- [9] X. Zhao, S. Lu & G. Q, "Nanoporous materials-science and engineering", Imperial College Press, londan, Vol. 4, pp. 6-11, 2004.
- [10] K. H. Jack, "The Fabrication of Dense Nitrogen Ceramics. In Hayne-Palmour IV: Processing of Crystalline Ceramics", Materials Science Research, Plenum, Vol. 11, p. 561, 1978.
- [11] R. K. Iler, "The chemistry of silica: solubility, polymerizatio colloid and surface properties biochemistry", John Wiley & Sons, 1979.
- [12] W. D. B. I. Parsons & D. S. Montgometry, Mine Branch Technical Survey, TB26, 1961.
- [13] S. J. Gregg & K. S. W. Sing, "Adsorption, Surface Area and Porosity", Academic Press, London, 1982.
- [14] K. Chen, Z. Huang, Y. G. Liu, M. Fang & J. Huang, "Synthesis of β -Si₃N₄ powder from quartz via carbothermal reduction nitridation", powder technology, Vol. 235, pp. 728-734, 2013.
- کربوترمال و نیتریداسیون یک فرآیند دما بالا می باشد. به همین دلیل در نمونه های حاوی افزودنی آهن، واکنش میان افزودنی آهن و اکسید های سطحی موجود بر سطح Si₃N₄ سبب تشکیل فاز مایع و پرشدن تخلخل ها با این فاز می گردد. این مهم نیز باعث کاهش قطر حفرات و جلوگیری از تشکیل ساختاری مزوپور و متعاقبا سبب تشکیل محصولی میکروپور شده است.
- ## ۵- مراجع
- [1] K. H. Jack & W. I. Wilson., "Ceramics based on the Si-Al-ON and related systems", Nature, Vol. 28, pp. 281-239, 1972.
- [2] F. Wang, F. Qin, G. Qiang Jin, W. Yong & X. Yun Guo, "synthesis and characterization of Si₃N₄ thin nanobelts via direct nitridation of Si powder", physica E41, pp.120-123, 2008.
- [3] M. V. Vlasova, T. S. bartnitskaya, L. L. Sukhikh, L. A. Tomila & T. V. Krushinskaya, "mechanism of Si₃N₄ nucleation during carbothermal reduction of silica", journal of materials science, Vol. 30, pp. 5263-5271, 1995.
- [4] Q. Yong-Xin, L. Mu-Sen, W. Cheng-Gao, B. Yu-Jin, B. Zhu & W. Yan-Xiang, "low-temperature preparation of silicon nitride via chemical metathesis route", materials letters, Vol. 58, pp. 3345-3347, 2004.
- [5] Y. Zhao, Q. Liu & H. Zhou, "synthesis of pure rod- like α -Si₃N₄ powder with in situ C/SBA-15 composite", ceramics international, Vol. 38, pp. 6059-6062, 2012.
- [6] A. K. waterw, A. Sawka & D. K. watera, "amorphous Si₃N₄ layers synthesized on cemented carbide tools using an atmospheric pressure CVD method,surface and coatings technology", Vol. 88, pp. 12-16, 1996.
- [7] T. Kawahito & T. Iwai, "Poroceeding of the International Symposium on Ceramic Components for Engines", p. 333, 1983.
- [8] D. Gu, F. Zhang, Y. Shi, Y. Zhang, F. Wu, Z. Deng, Y. Zhang, L. Tu & B. Zhao, "teardown method to create large mesotunnels on the pore walls of ordered mesoporous silica", J. Colloid